

УДК 539.3

НЕУСТОЙЧИВОСТЬ ДВУХСЛОЙНОЙ ПЛАСТИНКИ ПРИ ДЕЙСТВИИ ИЗГИБАЮЩЕГО МОМЕНТА

Белубекян М. В.

Մ.Վ. Բելուբեկյան
Երկշերտ սալի ամկայությունը ծողության դեպքում

Հաստատված է, որ որոշակի եզրային պայմանների դեպքում, ուղղանկյուն սալի ճկածքի որոշման խնդիրը անջատվում է շերտամացված հարթ լարվածային վիճակի որոշման խնդիրից: Ապացուցված է, որ եզրերում կիրառված ծողությունների կամ լայնական թերթ ազդեցության դեպքերում հնարավոր նն սեղմող ժիգեր կախված շերտերի նյութերի Պուասոնի գործակիցների տարրերությունից:

M. V. Belubekyan

Nonstability of the two-layered plate under the action of the bending moment

На основе гипотезы Кирхгофа рассматриваются статические задачи определения напряженно-деформированного состояния двухслойной пластиинки. Установлено, что при определенных граничных условиях на кромках прямоугольной в плане пластиинки, задача определения прогиба пластиинки отделяется от задачи определения обобщенного плоского напряженного состояния.

Показано, что усилия в пластиинке под действием изгибающих моментов, приложенных на кромках, или поперечной нагрузки могут быть сжимающими в зависимости от знака разности коэффициентов Пуассона материалов слоев.

Определены критические нагрузки, при которых имеет место неустойчивость пластиинки.

Напряженно-деформированное состояние двухслойной пластиинки, ввиду наличия несимметричности относительно средней плоскости, имеет много общего с состоянием однослоиной оболочки. Как известно, оболочка под действием поперечной (внешней) нагрузки может потерять устойчивость. Может ли поперечная нагрузка привести к потере устойчивости двухслойной пластиинки? Впервые вопрос о неустойчивости пластиинки, обусловленной несимметричностью, под действием поперечной нагрузки обсуждался в [1,2].

1. Пусть двухслойная пластиинка в прямоугольной декартовой системе координат занимает область $0 \leq x \leq a, 0 \leq y \leq b, -h_2 \leq z \leq h_1$. В последующем индекс (1) относится к слою $0 \leq z \leq h_1$, а индекс (2) — к слою $-h_2 \leq z \leq 0$. Рассматриваются статические задачи, когда либо задана поперечная нагрузка $q(x, y)$ на лицевой поверхности пластиинки $z = -h_2$, либо пластиинка изгибается под действием изгибающих моментов, приложенных на кромках пластиинки. Принимается гипотеза Кирхгофа для пакета в целом, в частности, для перемещений

$$u_1 = u - z \frac{\partial w}{\partial x}, \quad u_2 = v - z \frac{\partial w}{\partial y}, \quad u_3 = w, \quad u, v, w \sim (x, y) \quad (1.1)$$

В работе [3], при помощи преобразования

$$u = \frac{\partial \phi}{\partial x} + \frac{\partial \psi}{\partial y} + \frac{k_1 - k_2}{c_1 + c_2} \frac{\partial w}{\partial x}, \quad v = \frac{\partial \phi}{\partial y} - \frac{\partial \psi}{\partial x} + \frac{k_1 - k_2}{c_1 + c_2} \frac{\partial w}{\partial y} \quad (1.2)$$

уравнения, определяющие напряженно-деформированное состояние пластинки, приводятся к виду

$$\Delta \phi = 0, \quad \Delta \psi = 0, \quad D \Delta^2 w = q \quad (1.3)$$

Здесь приняты следующие обозначения:

$$c_i = \frac{E_i h_i}{1 - v_i^2}, \quad k_i = \frac{E_i h_i^2}{2(1 - v_i^2)}, \quad D_i = \frac{E_i h_i^3}{3(1 - v_i^2)}, \quad i = 1, 2 \quad (1.4)$$

$$D = D_1 + D_2 - (c_1 + c_2)^{-1} (k_1 - k_2)^2$$

Таким образом получаются раздельные уравнения относительно искомых функций ϕ , ψ , w , что приводит к установлению эффективной жесткости D пластиинки на изгиб.

В [3] показано, что если края пластиинки жестко закреплены

$$u_1 = u_2 = u_3 = 0 \quad \text{при } x = 0, a, \quad y = 0, b \quad (1.5)$$

то осредненные граничные условия получаются в виде

$$\frac{\partial \phi}{\partial x} + \frac{\partial \psi}{\partial y} = 0, \quad \frac{\partial \phi}{\partial y} - \frac{\partial \psi}{\partial x} = 0, \quad w = 0, \quad \frac{\partial w}{\partial x} = 0 \quad \text{при } x = 0, a \quad (1.6)$$

$$\frac{\partial \phi}{\partial x} + \frac{\partial \psi}{\partial y} = 0, \quad \frac{\partial \phi}{\partial y} - \frac{\partial \psi}{\partial x} = 0, \quad w = 0, \quad \frac{\partial w}{\partial y} = 0 \quad \text{при } y = 0, b$$

Из уравнений (1.3) и граничных условий (1.6) для функций ϕ и ψ следует решение

$$\phi = \psi \equiv 0 \quad (1.7)$$

т.е. задача определения напряженно-деформированного состояния двухслойной пластиинки сводится к обычной задаче определения прогиба однослоиной пластиинки с эффективной жесткостью на изгиб D .

Пусть на шарнирно-закрепленном крае $x = \text{const}$ пластиинки приложена нагрузка

$$\sigma_{11} = \sigma_0(z) \quad (1.8)$$

так, что

$$T_1 = \int_{-h_1}^{h_1} \sigma_0(z) dz = 0, \quad M_1 = \int_{-h_2}^{h_1} z \sigma_0(z) dz = M_0 \quad (1.9)$$

Тогда граничные условия на краю $x = \text{const}$ будут иметь вид

$$T_1 = 0, \quad v = 0, \quad w = 0, \quad M_1 = M_0 \quad (1.10)$$

или

$$\frac{\partial u}{\partial x} = -\frac{k_1 - k_2}{c_1 + c_2} \frac{M_0}{D}, \quad v = 0, \quad w = 0, \quad \frac{\partial^2 w}{\partial x^2} = -\frac{M_0}{D} \quad (1.11)$$

С помощью преобразования (1.2) условия (1.11) принимают форму

$$\frac{\partial}{\partial x} \left[\frac{\partial \phi}{\partial x} + \frac{\partial \psi}{\partial y} \right] = 0, \quad \frac{\partial \phi}{\partial y} - \frac{\partial \psi}{\partial x} = 0, \quad w = 0, \quad \frac{\partial^2 w}{\partial x^2} = -\frac{M_0}{D} \quad (1.12)$$

Наконец, необходимо рассмотреть граничные условия типа скользящего контакта.

Если на кромке пластиинки $x = \text{const}$ заданы условия

$$u_1 = 0, \sigma_{12} = 0, \sigma_{13} = 0 \quad (1.13)$$

то соответствующие условия в итоге приводятся к виду

$$\begin{aligned} \frac{\partial \phi}{\partial x} + \frac{\partial \psi}{\partial y} &= 0, \quad \frac{\partial}{\partial x} \left(\frac{\partial \phi}{\partial y} - \frac{\partial \psi}{\partial x} \right) = 0, \quad \frac{\partial w}{\partial x} = 0 \\ \frac{\partial^2}{\partial x^2} \left[D \frac{\partial w}{\partial x} - (k_1 - k_2) \left(\frac{\partial \phi}{\partial x} + \frac{\partial \psi}{\partial y} \right) \right] &= 0 \end{aligned} \quad (1.14)$$

Таким образом, как и в случае граничных условий жесткой заделки (1.6), условия шарнирного закрепления типа (1.12) и скользящего контакта (1.14) являются однородными относительно функций Φ и Ψ . Отсюда следуют равенства (1.7) и задача сводится к обычной задаче определения прогиба w пластиинки. Еще раз необходимо подчеркнуть, что равенства (1.7) имеют место при граничных условиях вида (1.6), (1.12), (1.14) и при их всевозможных сочетаниях.

При остальных вариантах граничных условий, например, когда какой-либо край пластиинки свободен, равенства (1.7) не имеют места.

После определения прогиба пластиинки, остальные расчетные величины будут определяться по следующим формулам:

$$u = \frac{k_1 - k_2}{c_1 + c_2} \frac{\partial w}{\partial x}, \quad v = \frac{k_1 - k_2}{c_1 + c_2} \frac{\partial w}{\partial y} \quad (1.15)$$

$$T_1 = (v_2 - v_1) k_c \frac{\partial^2 w}{\partial y^2}, \quad T_2 = (v_2 - v_1) k_c \frac{\partial^2 w}{\partial x^2}, \quad S = (v_1 - v_2) k_c \frac{\partial^2 w}{\partial x \partial y} \quad (1.16)$$

$$M_1 = -D \left(\frac{\partial^2 w}{\partial x^2} + v_c \frac{\partial^2 w}{\partial y^2} \right), \quad M_2 = -D \left(\frac{\partial^2 w}{\partial y^2} + v_c \frac{\partial^2 w}{\partial x^2} \right)$$

$$H = -D(1 - v_c) \frac{\partial^2 w}{\partial x \partial y}, \quad N_1 = -D \frac{\partial}{\partial x} \Delta w, \quad N_2 = -D \frac{\partial}{\partial y} \Delta w \quad (1.17)$$

где

$$k_c = \frac{c_1 k_2 + c_2 k_1}{c_1 + c_2}, \quad v_c = \frac{(c_1 + c_2)(v_1 D_1 + v_2 D_2) - (k_1 - k_2)(v_1 k_1 - v_2 k_2)}{(c_1 + c_2) D} \quad (1.18)$$

Из (1.16) следует, что при $v_1 = v_2$ усилия T_1, T_2, S тождественно равны нулю. В общем случае знак усилий существенно зависит от знака разности $v_2 - v_1$. Поэтому возможно появление сжимающих усилий, что может привести к неустойчивости пластиинки. Формулы (1.17) показывают, что параметр v_c можно принять в качестве эффективного коэффициента Пуассона двухслойной пластиинки. При этом, если $v_1 = v_2 = v$, то $v_c = v$ согласно (1.18).

Прямоугольная пластинка загружена только изгибающими моментами M_0 на шарнирно-закрепленных краях $x = 0, a$ ($q = 0$). На краях $y = 0, b$ принимаются условия скользящего контакта. В этом случае задача приводится к решению уравнения

$$\Delta^2 w_0 = 0 \quad (2.1)$$

с граничными условиями

$$w_0 = 0, \frac{\partial^2 w_0}{\partial x^2} = -\frac{M_0}{D} \text{ при } x = 0, a; \frac{\partial w_0}{\partial y} = 0, \frac{\partial^3 w_0}{\partial y^3} = 0 \text{ при } y = 0, b \quad (2.2)$$

Решение приведенной задачи известно

$$w_0 = \frac{M_0 a^2}{2D} \xi(1-\xi), \quad \xi = \frac{x}{a} \quad (2.3)$$

Остальные величины должны определяться по формулам (1.15) - (1.17). В частности,

$$T_2 = -(v_2 - v_1) k_c M_0 D^{-1}, \quad T_1 = S = 0 \quad (2.4)$$

При изгибе моментами появляется усилие $T_2 = \text{const}$, знак которого зависит от знака разности $v_2 - v_1$. При условии $v_2 > v_1$ усилие T_2 будет сжимающим. Поэтому возможна потеря устойчивости пластиинки. Если начальному состоянию пластиинки, определяемому по выражениям (2.3), (2.4), придать возмущение $w = w(x, y)$, то задача устойчивости приведется к решению уравнения

$$D \Delta^2 w - T_2 \frac{\partial^2 w}{\partial y^2} = 0 \quad (2.5)$$

с граничными условиями

$$w = 0, \frac{\partial^2 w}{\partial x^2} = 0 \quad \text{при } x = 0, a$$

$$\frac{\partial w}{\partial y} = 0, \frac{\partial^3 w}{\partial y^3} = 0 \quad \text{при } y = 0, b \quad (2.6)$$

Представление решения задачи в виде

$$w = \sum_{m=1}^{\infty} \sum_{n=0}^{\infty} w_{mn} \sin \mu_m x \cos \lambda_n y, \quad \mu_m = \frac{m\pi}{a}, \quad \lambda_n = \frac{n\pi}{b} \quad (2.7)$$

удовлетворяет граничным условиям (2.6).

Подстановка (2.7) в уравнение (2.5) с учетом (2.4) приводит к определению значений приложенного изгибающего момента, определяющих нетривиальные решения задачи

$$M_{mn} = \frac{(\mu_m^2 + \lambda_n^2)^2}{\lambda_n^2} \frac{D^2}{(v_2 - v_1) k_c} \quad (2.8)$$

Из (2.8) нетрудно показать, что минимальное критическое значение изгибающего момента M_0 , при котором имеет место неустойчивость, достигается при $m = 1, n = s = E(b/a)$, где $E(b/a)$ означает целую часть отношения b/a плюс единица.

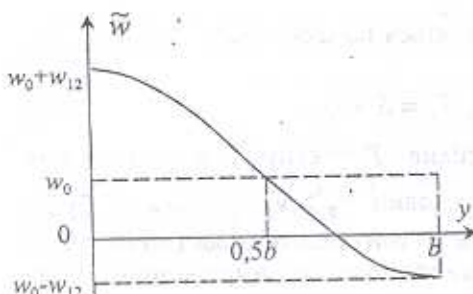
$$M^* = \frac{(\mu_1^2 + \lambda_x^2)}{\lambda_x^2} \frac{D^2}{(\nu_2 - \nu_1) k_c} \quad (2.9)$$

В частности, для квадратной пластиинки ($a = b$)

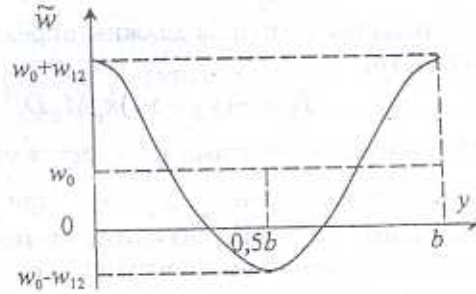
$$M^* = 4(\nu_2 - \nu_1)^{-1} \pi^2 D^2 a^{-2} k_c^1 \quad (2.10)$$

На фиг.1 приводится форма потери устойчивости квадратной пластиинки ($a = b$) для сечения $x = 0,5a$.

Пунктирная линия соответствует начальному прогибу пластиинки, сплошная — после потери устойчивости. На фиг.2 приводится форма потери устойчивости прямоугольной пластиинки с размерами $b = 2a$ для сечения $x = 0,5a$. В этом случае критическое значение момента также определяется по формуле (2.10).



Фиг. 1



Фиг. 2

О порядке величины критической нагрузки можно судить по следующему примеру:

$$\nu_1 = 0, \nu_2 = 0,5, h_1 = h_2 = h, b = a$$

$$M^* \approx 4,2\pi^2 E_1 h^4 a^{-2} \text{ при } E_2 = 0,1E_1 \quad (2.11)$$

$$M^* \approx 8,5\pi^2 E_1 h^4 a^{-2} \text{ при } E_2 = E_1$$

3. Пусть края прямоугольной пластиинки $x = 0, a$ шарнирно закреплены, а на краях $y = 0, b$ даны условия скользящего контакта. На пластиинку действует поперечная нагрузка $q = q_0 \sin \mu_1 x$.

Задача изгиба приводится к решению уравнения

$$D^2 w_0 = q_0 \sin \mu_1 x \quad (3.1)$$

с граничными условиями

$$w_0 = 0, \frac{\partial^2 w_0}{\partial x^2} = 0 \quad \text{при } x = 0, a$$

$$\frac{\partial w_0}{\partial y} = 0, \frac{\partial^3 w_0}{\partial y^3} = 0 \quad \text{при } y = 0, b \quad (3.2)$$

Решение приведенной задачи известно — пластиинка принимает форму цилиндрической поверхности

$$w = q_0 D^{-1} \mu_1^{-4} \sin \mu_1 x \quad (3.3)$$

Имея решение (3.3), можно найти перемещения, усилия и моменты по формулам (1.15) — (1.17). В частности,

$$T_2 = -\left(v_2 - v_1\right) \frac{q_0 k_c}{D \mu_1^2} \sin \mu_1 x, \quad T_1 = S = 0 \quad (3.4)$$

Задача устойчивости, как и в предыдущем случае, приводится к нахождению нетривиальных решений уравнения (2.5) с граничными условиями (2.6) с той лишь разницей, что здесь усилие T_2 является функцией координаты x .

Решение уравнения (2.5), удовлетворяющее граничным условиям при $y = 0, b$ из (2.6), имеет вид

$$w = \sum_{n=1}^{\infty} f_n(x) \cos \lambda_n y, \quad \lambda_n = \frac{n\pi}{a} \quad (3.5)$$

Подстановка (3.5) в уравнение (2.5) и граничные условия при $x = 0, a$ из (2.6) приводит к задаче нахождения собственных значений уравнения

$$f_n'' - 2\lambda_n^2 f_n'' + \lambda_n^4 \left[1 - (v_2 - v_1) q_0 k_c (\mu_1 \lambda_n D)^{-2} \sin \mu_1 x \right] f_n = 0 \quad (3.6)$$

с граничными условиями

$$f_n = 0, \quad f_n'' = 0 \quad \text{при } x = 0, a \quad (3.7)$$

Очевидно, что эта задача при условии $v_2 > v_1$ имеет положительные собственные значения. Собственные значения можно найти применением различных приближенных методов. В частности, в первом приближении по методу Галеркина получается

$$q_{1n} = \frac{3\mu_1^3 a (\mu_1^2 + \lambda_n^2)^2}{8(v_2 - v_1) k_c \lambda_n^2} D^2 \quad (3.8)$$

Минимальное значение критической нагрузки q_{1n} получается при $n = E(b/a)$.

ЛИТЕРАТУРА

- Гнуни В.Ц., Микаелян Г.З. Выпучивание длинной эксцентрично-закрепленной пластинки под действием поперечной нагрузки//Докл. АН Арм. ССР. 1970. Т. 51. №3. С. 140-143.
- Гнуни В. Ц., Микаелян Г. З. Выпучивание длинных слоистых пластин и цилиндрических панелей//Изв. АН Арм ССР. Механика. 1971. Т. 24. №2. С. 39-45.
- Амбарцумян С. А., Белубекян М. В. Об одном подходе к определению эффективных модулей несимметрично собранных пластин. Проблемы прочности и пластичности. Н. Новгород. Изд. Нижегородского университета. 2000. Т. 61. С. 26-30.

Институт механики
НАН Армении

Поступила в редакцию
18.04.2000